

Starkniederschlagshöhen und -spenden gemäß KOSTRA-DWD-2010R

Auswertungszeitraum von 1951 - 2010, Januar - Dezember

Rasterfeld: 22043

Zeile: 22

Spalte: 43

Seite: 1/2

| Dauerstufe D | | Wiederkehrzeit T | | | | | | | | | | | | | | | | | |
|--------------|-----|------------------|------------|------|------------|------|------------|------|------------|------|------------|------|------------|------|------------|------|------------|-------|------------|
| | | 1 a | | 2 a | | 3 a | | 5 a | | 10 a | | 20 a | | 30 a | | 50 a | | 100 a | |
| min | Std | mm | l / (s ha) | mm | l / (s ha) | mm | l / (s ha) | mm | l / (s ha) | mm | l / (s ha) | mm | l / (s ha) | mm | l / (s ha) | mm | l / (s ha) | mm | l / (s ha) |
| 5 | | 5,1 | 170,0 | 6,2 | 206,7 | 6,8 | 226,7 | 7,7 | 256,7 | 8,8 | 293,3 | 9,9 | 330,0 | 10,6 | 353,3 | 11,4 | 380,0 | 12,5 | 416,7 |
| 10 | | 7,9 | 131,7 | 9,6 | 160,0 | 10,6 | 176,7 | 11,8 | 196,7 | 13,5 | 225,0 | 15,2 | 253,3 | 16,2 | 270,0 | 17,5 | 291,7 | 19,2 | 320,0 |
| 15 | | 9,7 | 107,8 | 11,9 | 132,2 | 13,1 | 145,6 | 14,7 | 163,3 | 16,9 | 187,8 | 19,1 | 212,2 | 20,3 | 225,6 | 21,9 | 243,3 | 24,1 | 267,8 |
| 20 | | 11,0 | 91,7 | 13,5 | 112,5 | 15,0 | 125,0 | 16,9 | 140,8 | 19,5 | 162,5 | 22,1 | 184,2 | 23,6 | 196,7 | 25,5 | 212,5 | 28,1 | 234,2 |
| 30 | | 12,6 | 70,0 | 15,9 | 88,3 | 17,8 | 98,9 | 20,2 | 112,2 | 23,5 | 130,6 | 26,8 | 148,9 | 28,7 | 159,4 | 31,1 | 172,8 | 34,4 | 191,1 |
| 45 | | 14,0 | 51,9 | 18,2 | 67,4 | 20,6 | 76,3 | 23,7 | 87,8 | 27,9 | 103,3 | 32,1 | 118,9 | 34,5 | 127,8 | 37,6 | 139,3 | 41,8 | 154,8 |
| 60 | | 14,8 | 41,1 | 19,8 | 55,0 | 22,7 | 63,1 | 26,3 | 73,1 | 31,3 | 86,9 | 36,3 | 100,8 | 39,2 | 108,9 | 42,8 | 118,9 | 47,8 | 132,8 |
| 90 | | 16,3 | 30,2 | 21,5 | 39,8 | 24,6 | 45,6 | 28,5 | 52,8 | 33,7 | 62,4 | 39,0 | 72,2 | 42,1 | 78,0 | 45,9 | 85,0 | 51,2 | 94,8 |
| 120 | 2 | 17,4 | 24,2 | 22,9 | 31,8 | 26,1 | 36,3 | 30,1 | 41,8 | 35,6 | 49,4 | 41,0 | 56,9 | 44,2 | 61,4 | 48,3 | 67,1 | 53,8 | 74,7 |
| 180 | 3 | 19,1 | 17,7 | 24,9 | 23,1 | 28,3 | 26,2 | 32,6 | 30,2 | 38,4 | 35,6 | 44,2 | 40,9 | 47,5 | 44,0 | 51,8 | 48,0 | 57,6 | 53,3 |
| 240 | 4 | 20,5 | 14,2 | 26,5 | 18,4 | 30,0 | 20,8 | 34,5 | 24,0 | 40,5 | 28,1 | 46,5 | 32,3 | 50,0 | 34,7 | 54,5 | 37,8 | 60,5 | 42,0 |
| 360 | 6 | 22,5 | 10,4 | 28,9 | 13,4 | 32,6 | 15,1 | 37,3 | 17,3 | 43,7 | 20,2 | 50,1 | 23,2 | 53,8 | 24,9 | 58,5 | 27,1 | 64,9 | 30,0 |
| 540 | 9 | 24,7 | 7,6 | 31,5 | 9,7 | 35,4 | 10,9 | 40,4 | 12,5 | 47,1 | 14,5 | 53,9 | 16,6 | 57,8 | 17,8 | 62,8 | 19,4 | 69,6 | 21,5 |
| 720 | 12 | 26,4 | 6,1 | 33,5 | 7,8 | 37,6 | 8,7 | 42,8 | 9,9 | 49,8 | 11,5 | 56,8 | 13,1 | 60,9 | 14,1 | 66,1 | 15,3 | 73,1 | 16,9 |
| 1080 | 18 | 29,1 | 4,5 | 36,5 | 5,6 | 40,9 | 6,3 | 46,3 | 7,1 | 53,8 | 8,3 | 61,2 | 9,4 | 65,5 | 10,1 | 71,0 | 11,0 | 78,5 | 12,1 |
| 1440 | 24 | 31,1 | 3,6 | 38,8 | 4,5 | 43,4 | 5,0 | 49,1 | 5,7 | 56,8 | 6,6 | 64,5 | 7,5 | 69,1 | 8,0 | 74,8 | 8,7 | 82,5 | 9,5 |
| 2880 | 48 | 36,9 | 2,1 | 45,2 | 2,6 | 50,0 | 2,9 | 56,2 | 3,3 | 64,5 | 3,7 | 72,8 | 4,2 | 77,7 | 4,5 | 83,8 | 4,8 | 92,1 | 5,3 |
| 4320 | 72 | 40,7 | 1,6 | 49,4 | 1,9 | 54,4 | 2,1 | 60,8 | 2,3 | 69,5 | 2,7 | 78,1 | 3,0 | 83,2 | 3,2 | 89,5 | 3,5 | 98,2 | 3,8 |

Angaben in mm: Bemessungsniederschlagswerte h(n)

Angaben in l / (s ha): Regenspende R(n) mit $R(n) = h(n) \times 1,666667 / D[\text{min}]$

Toleranzbereiche:

+/- 10 % für $1 a \leq T \leq 5 a$

+/- 15 % für $5 a < T \leq 50 a$

+/- 20 % für $50 a < T \leq 100 a$

Datenbasis: KOSTRA-DWD-2010R des Deutschen Wetterdienstes. Die Regenspende wurde auf Basis des Bemessungsniederschlags zur jeweiligen Andauer berechnet.

Für die Richtigkeit und Aktualität der Angaben wird keine Gewähr übernommen. Erstellt 07/2022.

Starkniederschlagshöhen und -spenden gemäß KOSTRA-DWD-2010R

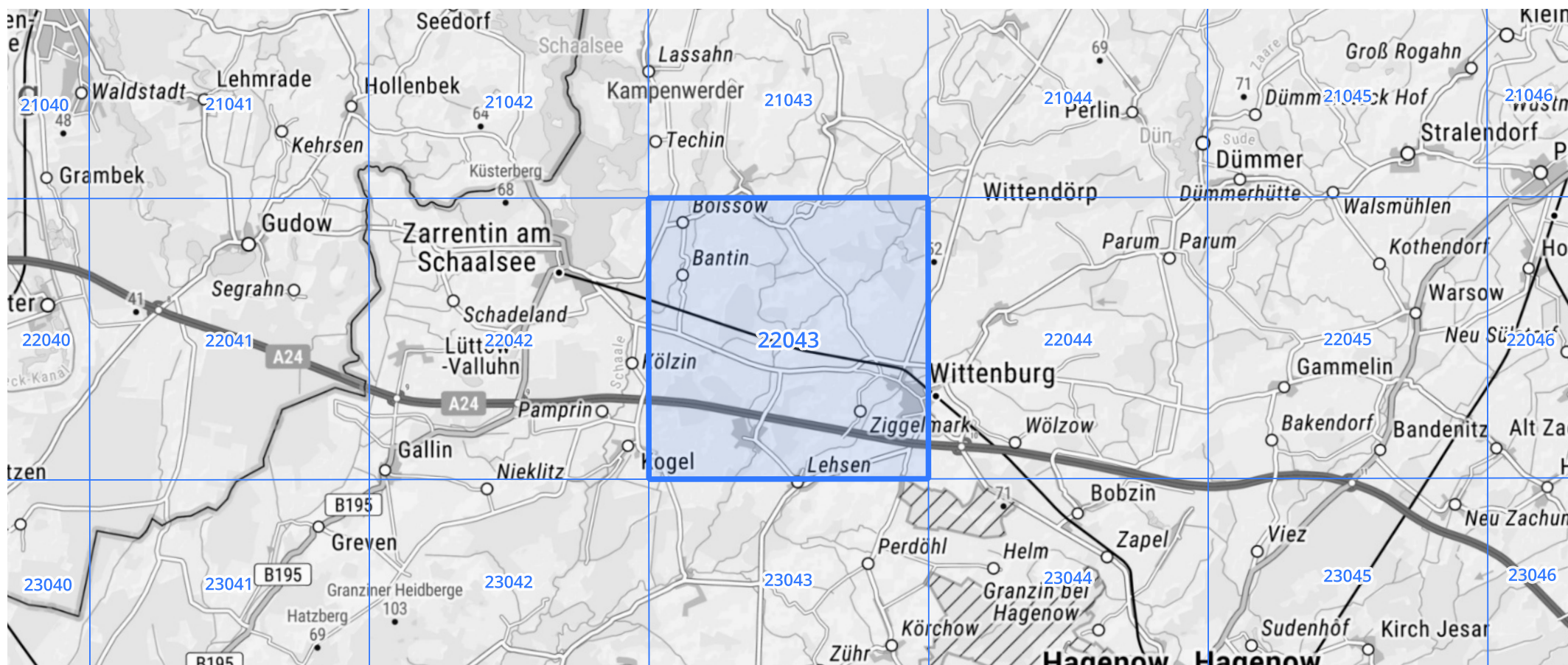
Auswertungszeitraum von 1951 - 2010, Januar - Dezember

Rasterfeld: 22043

Zeile: 22

Spalte: 43

Seite: 2/2



Quelle Rasterdaten: KOSTRA-DWD-2010R des Deutschen Wetterdienstes.

Kartendarstellung: © Bundesamt für Kartographie und Geodäsie (2022), Datenquellen: https://sgx.geodatenzentrum.de/web_public/gdz/datenquellen/Datenquellen_TopPlusOpen.html

Für die Richtigkeit und Aktualität der Angaben wird keine Gewähr übernommen. Erstellt 07/2022.